

Annexe 1 / Appendix 1

Analyse des sous-populations de souches selon leur niveau de sensibilité (informations de type 1)

*Sub-population analysis of isolates
according to their susceptibility level
(type 1 information)*

Figures 1.1 à 1.17 / *Figures 1.1 to 1.17*
Tableaux 1.1 à 1.3 / *Tables 1.1 to 1.3*

Dans les figures suivantes, la valeur de diamètre 36 mm correspond en fait à ≥ 36 mm. En effet, 36 mm est souvent la valeur maximale mesurée par les caméras ou entrée dans les systèmes de gestion des laboratoires.

D et d représentent les valeurs supérieures et inférieures des diamètres critiques.

In the following Figures, the 36 mm diameter value corresponds to ≥ 36 mm. Indeed, 36 mm is often the highest value given by automatic cameras or recorded in laboratory information systems.

D and d represent the high and low critical values of diameters.

Figure 1.1
Escherichia coli (893 souches) :
 distribution des diamètres d'inhibition pour l'amoxicilline, souches isolées de bactériémies

Escherichia coli (893 strains):
 distribution of inhibition zone diameters for amoxicillin; strains isolated from bacteraemia (Réseau AZAY-Résistance, 2006). Cf. Tableau 1.1

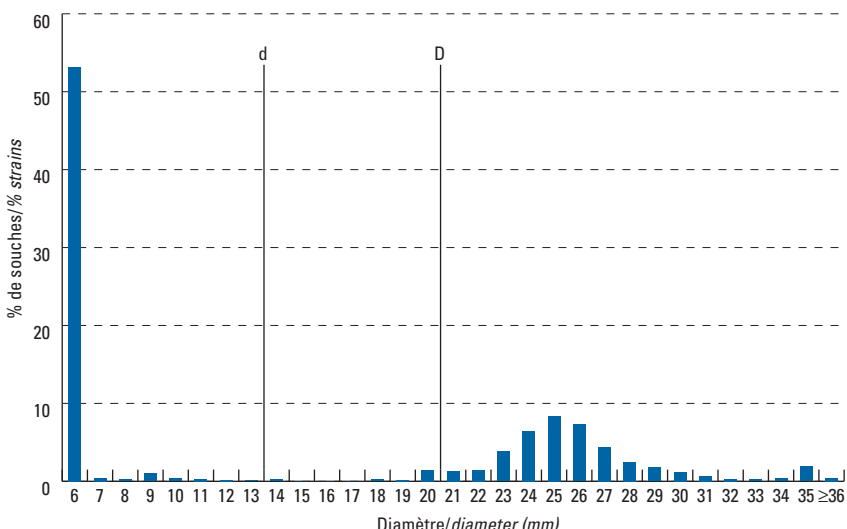


Figure 1.2
Escherichia coli (890 souches) :
 distribution des diamètres d'inhibition pour l'association amoxicilline-clavulanate, souches isolées de bactériémies

Escherichia coli (890 strains):
 distribution of inhibition zone diameters for amoxicillin-clavulanate; strains isolated from bacteraemia (Réseau AZAY-Résistance, 2006). Cf. Tableau 1.1

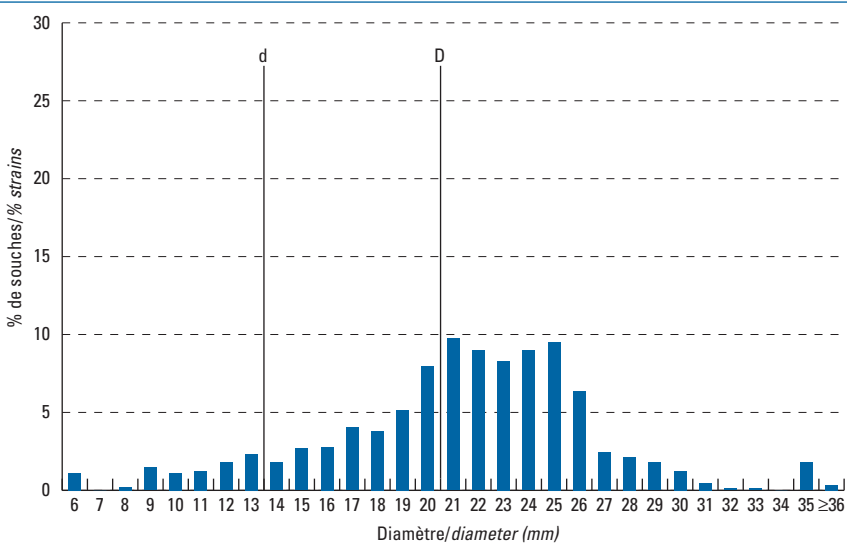


Figure 1.3
Escherichia coli (892 souches) :
 distribution des diamètres d'inhibition pour le céfotaxime, souches isolées de bactériémies

Escherichia coli (892 strains):
 distribution of inhibition zone diameters for cefotaxime; strains isolated from bacteraemia (Réseau AZAY-Résistance, 2006). Cf. Tableau 1.1

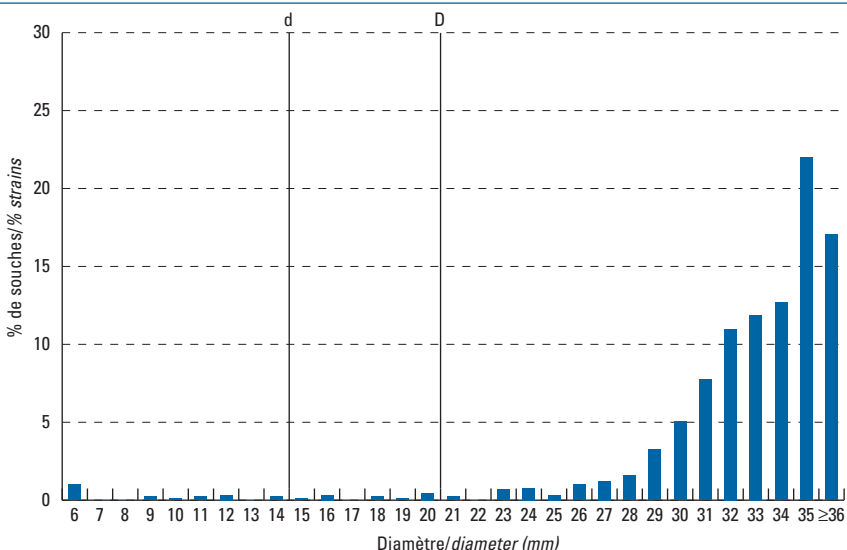


Figure 1.4
Escherichia coli (882 souches) :
 distribution des diamètres d'inhibition pour l'imipénème, souches isolées de bactériémies

Escherichia coli (882 strains):
 distribution of inhibition zone diameters
 for imipenem; strains isolated from
 bacteraemia
 (Réseau AZAY-Résistance, 2006).
 Cf. Tableau 1.1

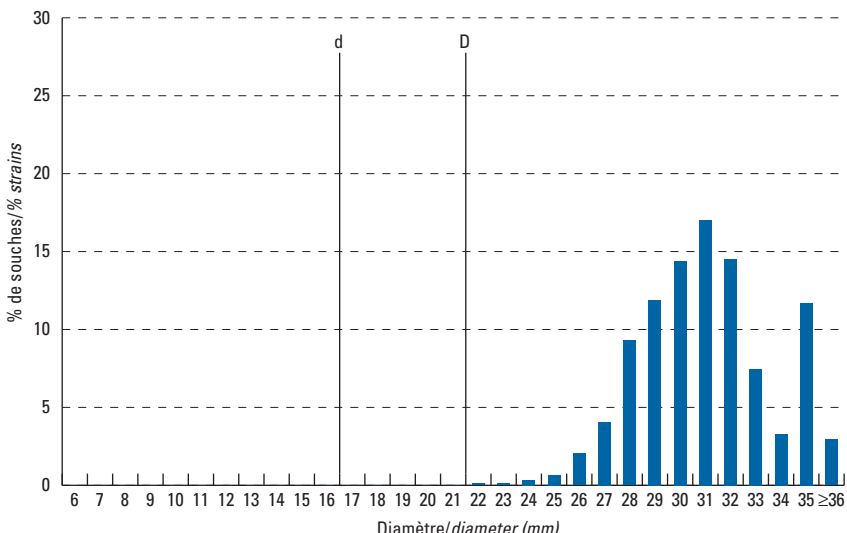


Figure 1.5
Escherichia coli (579 souches) :
 distribution des diamètres d'inhibition pour l'acide nalidixique, souches isolées de bactériémies

Escherichia coli (579 strains):
 distribution of inhibition zone diameters for
 nalidixic acid; strains isolated from
 bacteraemia (Réseau AZAY-Résistance,
 2006). Cf. Tableau 1.1

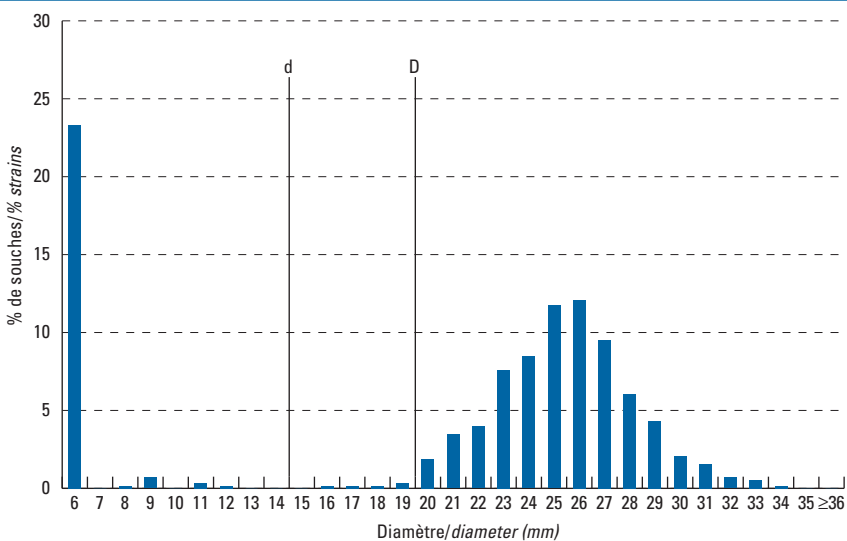


Figure 1.6
Escherichia coli (893 souches) :
 distribution des diamètres d'inhibition pour la gentamicine, souches isolées de bactériémies

Escherichia coli (893 strains):
 distribution of inhibition zone diameters for
 gentamicin; strains isolated from
 bacteraemia (Réseau AZAY-Résistance,
 2006). Cf. Tableau 1.1

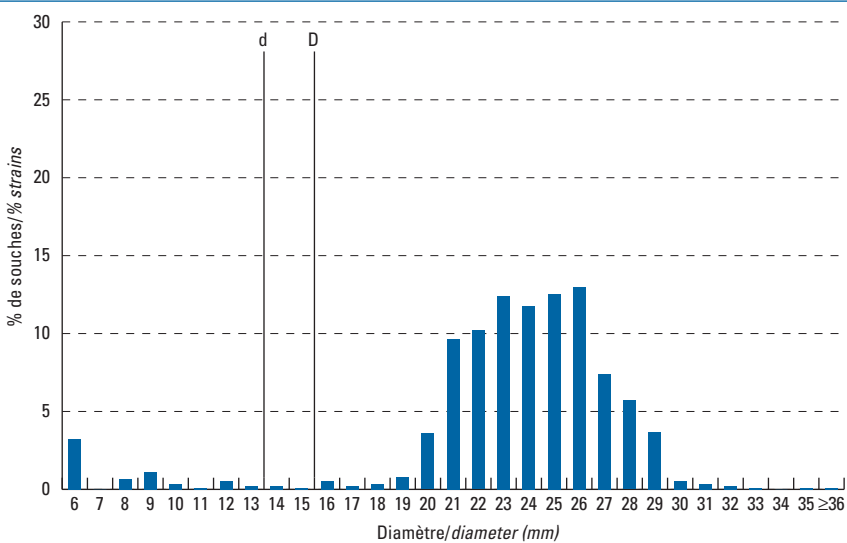


Figure 1.7
Escherichia coli (891 souches) :
 distribution des diamètres d'inhibition pour la ciprofloxacine, souches isolées de bactériémies

Escherichia coli (891 strains):
 distribution of inhibition zone diameters for ciprofloxacin; strains isolated from bacteraemia (Réseau AZAY-Résistance, 2006). Cf. Tableau 1.1

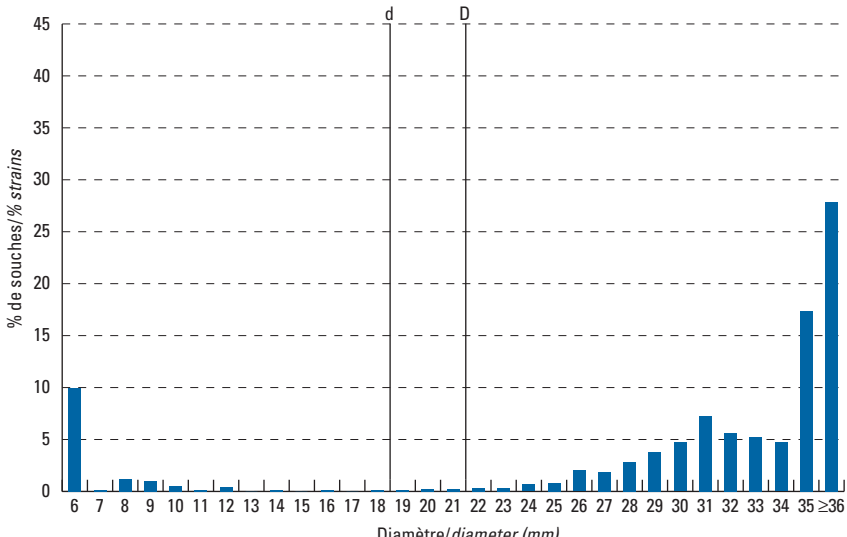


Figure 1.8
Escherichia coli (431 souches) :
 distribution des diamètres d'inhibition pour la ciprofloxacine sur les souches sensibles à l'acide nalidixique, souches isolées de bactériémies

Escherichia coli (431 strains): distribution of inhibition zone diameters for ciprofloxacin on strains susceptible to nalidixic acid; strains isolated from bacteraemia (Réseau AZAY-Résistance, 2006). Cf. Tableau 1.1

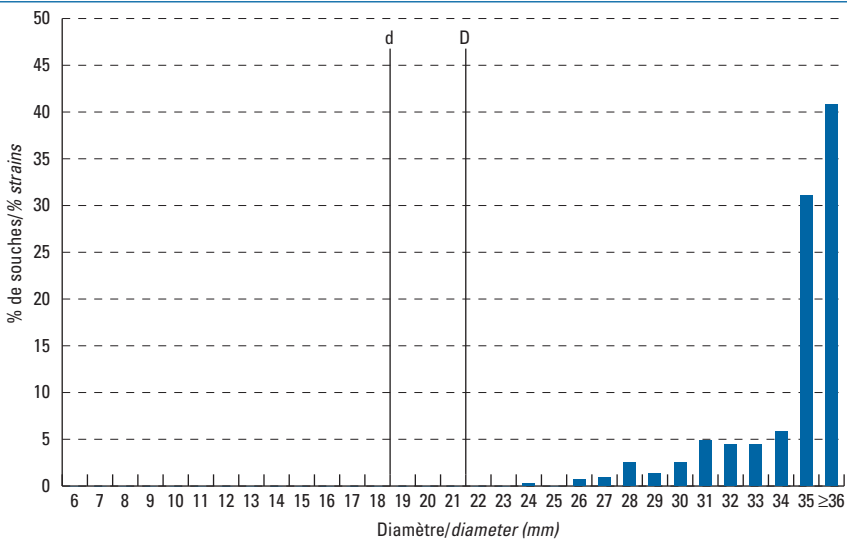


Figure 1.9
Escherichia coli (140 souches) :
 distribution des diamètres d'inhibition pour la ciprofloxacine sur les souches intermédiaires ou résistantes à l'acide nalidixique, souches isolées de bactériémies

Escherichia coli (140 strains): distribution of inhibition zone diameters for ciprofloxacin on nalidixic acid non-susceptible strains (I+R); strains isolated from bacteraemia (Réseau AZAY-Résistance, 2006). Cf. Tableau 1.1

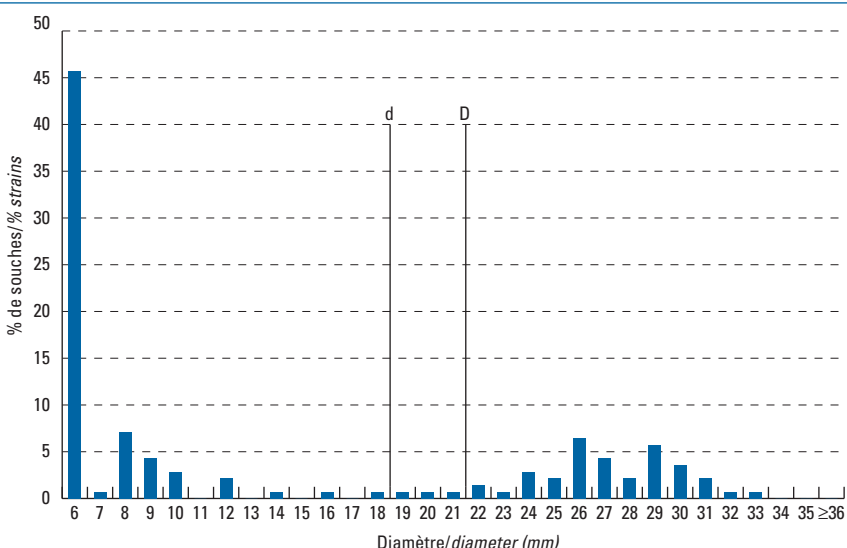


Figure 1.10
Escherichia coli (370 souches) :
 distribution des diamètres d'inhibition pour amoxicilline-clavulanate sur les souches sensibles à l'amoxicilline, souches isolées de bactériémies

Escherichia coli (370 strains): distribution of inhibition zone diameters for amoxicillin-clavulanate on strains susceptible to amoxicillin; strains isolated from bacteraemia (Réseau AZAY-Résistance, 2006). Cf. Tableau 1.1

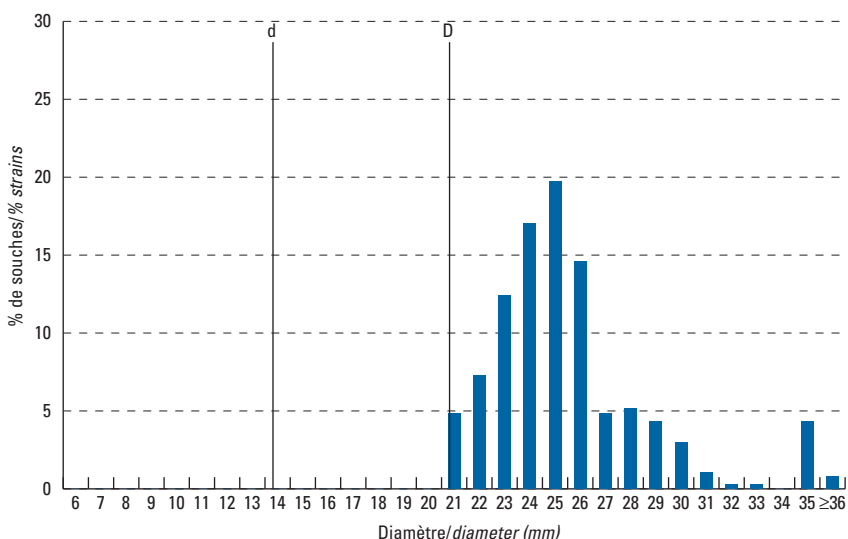


Figure 1.11
Escherichia coli (505 souches) :
 distribution des diamètres d'inhibition pour amoxicilline-clavulanate sur les souches non sensibles à l'amoxicilline (I+R), souches isolées de bactériémies

Escherichia coli (505 strains): distribution of inhibition zone diameters for amoxicillin-clavulanate on amoxicillin-non susceptible strains (I+R); strains isolated from bacteraemia (Réseau AZAY-Résistance, 2006). Cf. Tableau 1.1

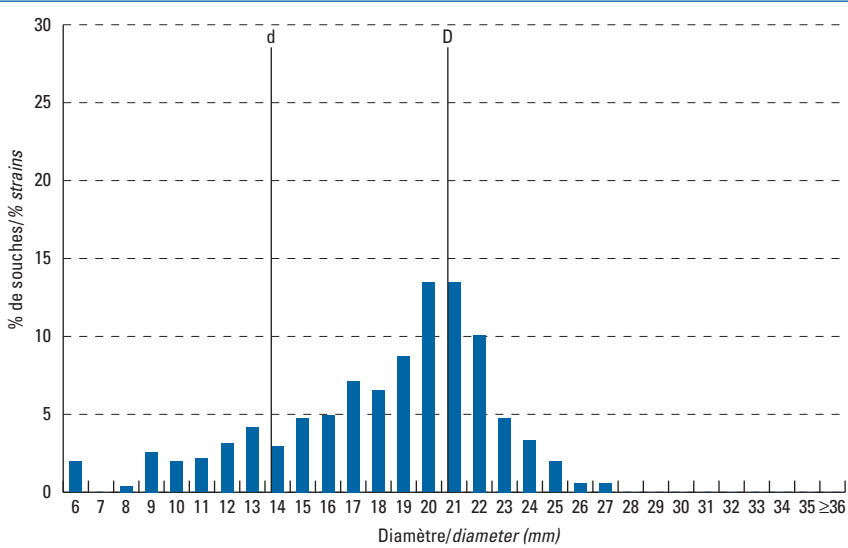


Figure 1.12
Escherichia coli (536 souches) :
 distribution des diamètres d'inhibition pour le cotrimoxazole

Escherichia coli (536 strains): distribution of inhibition zone diameters for cotrimoxazole; strains isolated from bacteraemia (Réseau AZAY-Résistance, 2006). Cf. Tableau 1.1

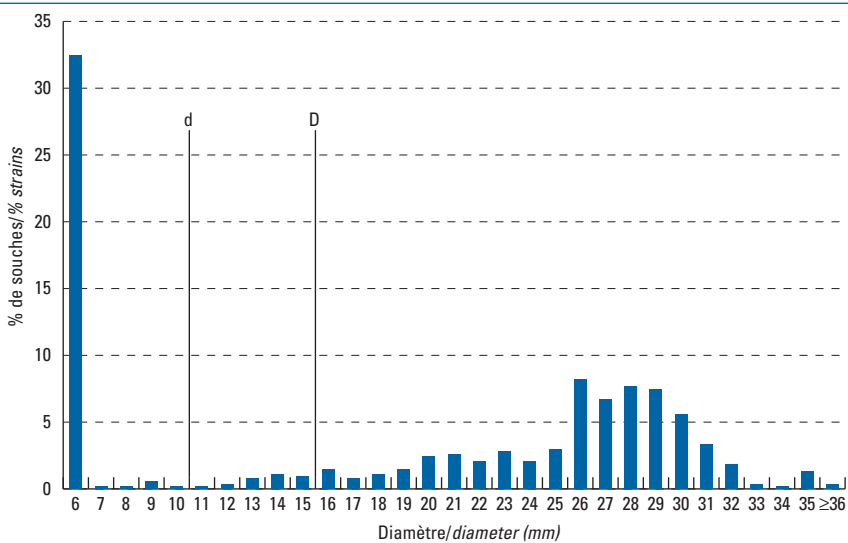


Figure 1.13
Escherichia coli (2 002 souches) :
 distribution des diamètres d'inhibition pour le ceftiofur, souches isolées de bovins

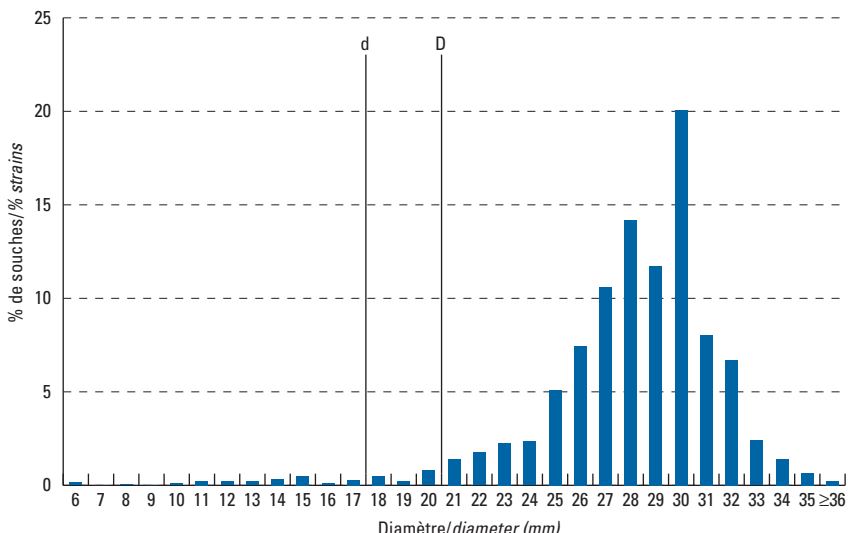


Figure 1.14
Escherichia coli (2 040 souches) :
 distribution des diamètres d'inhibition pour l'enrofloxacin, souches isolées de bovins

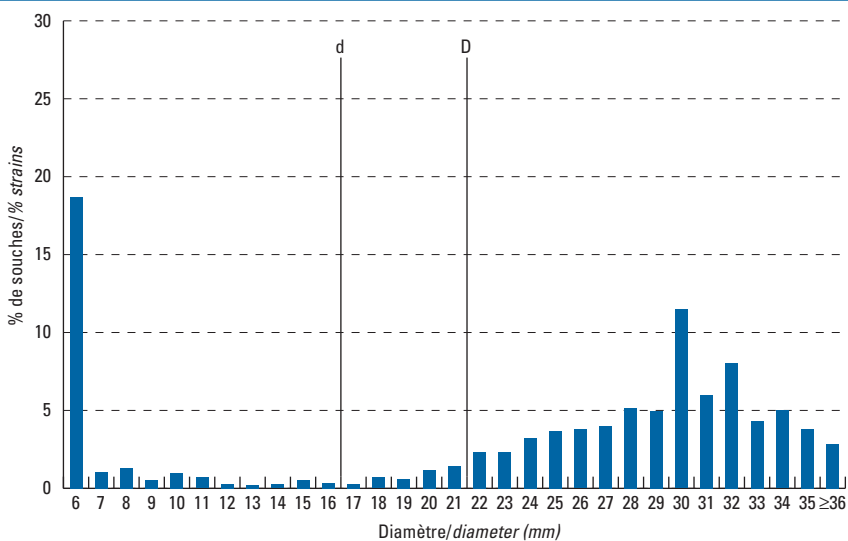


Figure 1.15
Streptococcus uberis (600 souches) :
 distribution des diamètres d'inhibition pour l'érythromycine, souches isolées de bovins

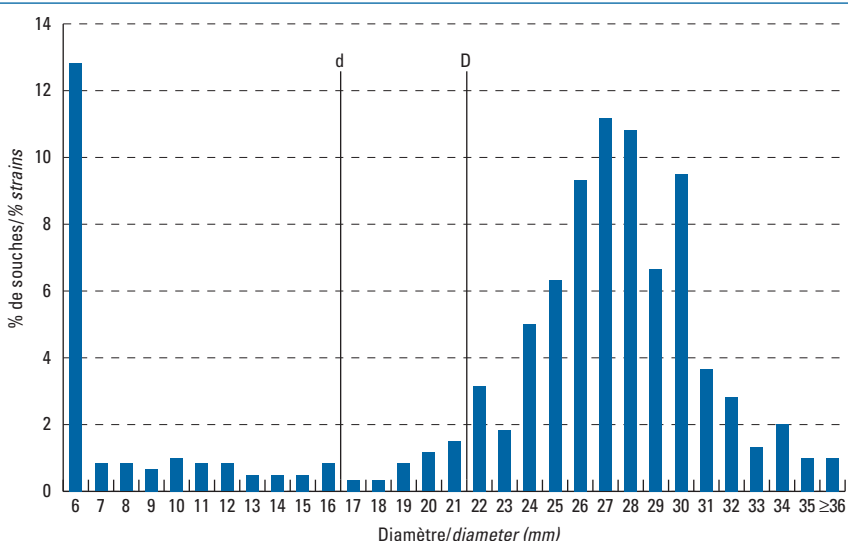


Figure 1.16
Streptococcus uberis
(466 souches):
distribution
des diamètres
d'inhibition pour
la lincomycine,
souches isolées
de bovins

Streptococcus uberis
(466 strains):
distribution of inhibition
zone diameters for
lincomycin; strains
isolated from bovines
(Réseau RESAPATH,
2006). Cf. Tableau 1.3

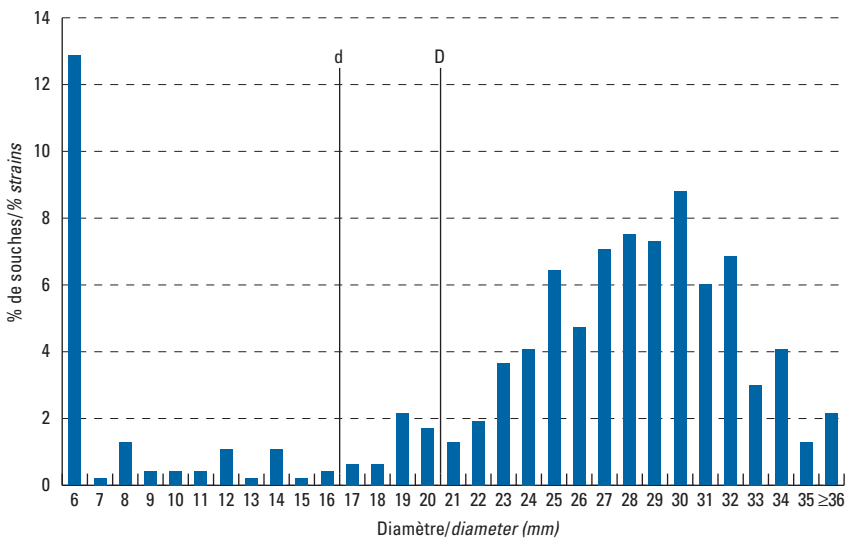


Figure 1.17
Streptococcus uberis
(747 souches):
distribution
des diamètres
d'inhibition pour
la spiramycine,
souches isolées
de bovins

Streptococcus uberis
(747 strains):
distribution of inhibition
zone diameters for
spiramycin; strains
isolated from bovines
(Réseau RESAPATH,
2006). Cf. Tableau 1.3

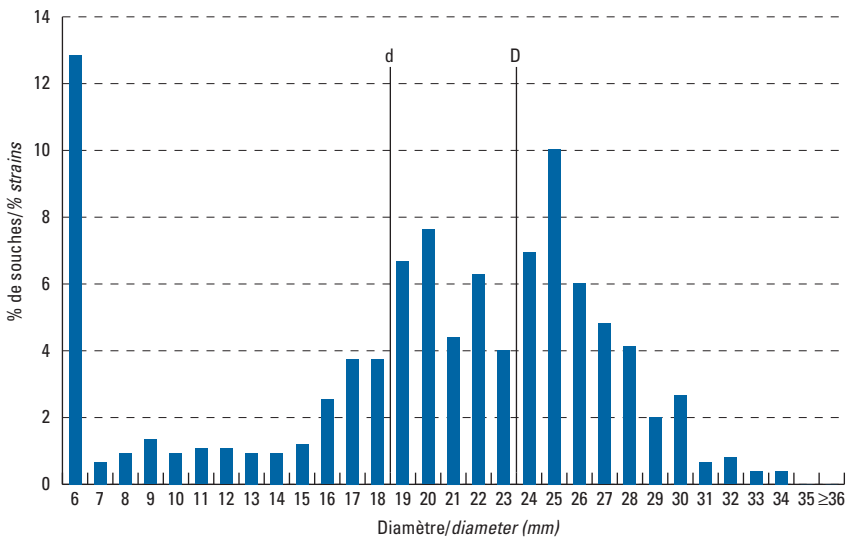


Tableau 1.1 - *Escherichia coli*: distribution des diamètres d'inhibition, souches responsables de bactériémies.
Table 1.1 - Escherichia coli: distribution of inhibition zone diameters, strains isolated from bacteraemia (réseau Azay-résistance, 2006). Cf. Figures 1.1 à 1.12

Souches Strains	Antibiotique Antibiotic	d ≤	D ≥	Nombre de souches ayant un diamètre (mm) de : /Number of strains with a diameter (mm) of:																														
				6	7	8	9	10	11	12	13	14	15	16	17	18	19	20	21	22	23	24	25	26	27	28	29	30	31	32	33	34	35	≥36
Amoxicilline	14	21	893	475	4	2	9	3	2	1	1	2		2	13	12	13	34	58	76	65	39	22	16	11	6	2	2	3	17	3			
Amoxicilline + clavulanate	14	21	890	10	2	13	10	11	16	21	16	24	25	36	34	46	71	87	80	74	80	85	57	22	19	16	11	4	1	1	16	2		
Céftaxime	15	21	892	9	2	1	2	3	2	1	3		2	1	4	2		6	7	3	9	11	14	29	45	69	98	106	113	196	154			
Imipénème	17	22	882														1	1	3	6	18	36	82	105	127	150	128	66	29	103	27			
Toutes/All	Gentamicine	14	16	893	29	6	10	3	1	5	2	2	1	5	2	3	7	32	86	91	111	105	112	116	66	51	33	5	3	2	1	1	2	
Carbimoxazole	11	16	536	174	1	3	1	1	2	4	6	5	8	4	6	8	13	14	11	15	11	16	44	36	41	40	30	18	10	2	1	7	3	
Ac. naldixique	15	2	579	135	1	4		2	1			1	1	1	2	11	20	23	44	49	68	72	55	35	25	12	9	4	3	1				
Ciprofloxacine	19	22	891	89	1	11	9	5	1	4	1		1	1	1	2	2	3	3	6	7	18	17	25	34	42	65	50	47	42	155	249		
Sac. naldixique	Ciprofloxacine	19	22	431																1		3	4	11	6	11	21	19	19	25	134	177		
Rac. naldixique	Ciprofloxacine	19	22	140	64	1	10	6	4		3	1		1	1	1	1	2	1	4	3	9	6	3	8	5	3	1	1					
S amoxicilline	Amoxicilline + clavulanate	14	21	370																18	27	46	63	73	54	18	19	16	11	4	1	1	16	3
R amoxicilline	Amoxicilline + clavulanate	14	21	505	10	2	13	10	11	16	21	15	24	25	36	33	44	68	69	51	24	17	10	3	3									

S: sensible/susceptible - R: résistant/resistant

Tableau 1.2 -*Escherichia coli*: distribution des diamètres d'inhibition, tous prélevements chez les bovins.**Table 1.2 -***Escherichia coli*: distribution of inhibition zone diameters, strains isolated from bovines (réseau RESAPATH, 2006). Cf. Figures 1.3, 1.4

Souches <i>Strains</i>	Antibiotique/ Antibiotic	d D	Total souches N strains	Nombre de souches ayant un diamètre (mm) de :/Number of strains with a diameter (mm) of:																															
				<	≥	6	7	8	9	10	11	12	13	14	15	16	17	18	19	20	21	22	23	24	25	26	27	28	29	30	31	32	33	34	35
Toutes/All	Ceftiofur	18	21	2002	3	0	1	0	2	5	4	4	7	10	2	6	10	4	16	28	35	45	47	102	149	212	284	235	402	161	134	48	28	13	5
Toutes/All	Enrofloxacine	17	22	2040	381	21	27	11	20	14	6	4	5	11	7	6	14	12	24	29	48	66	75	77	82	105	101	234	122	164	88	102	78	58	

Tableau 1.3 -*Streptococcus uberis*: distribution des diamètres d'inhibition, tous prélevements chez les bovins.**Table 1.3 -***Streptococcus uberis*: distribution of inhibition zone diameters, strains isolated from bovines (réseau RESAPATH, 2006). Cf. Figures 1.5, 1.16, 1.17

Souches <i>Strains</i>	Antibiotique/ Antibiotic	d D	Total souches N strains	Nombre de souches ayant un diamètre (mm) de :/Number of strains with a diameter (mm) of:																															
				<	≥	6	7	8	9	10	11	12	13	14	15	16	17	18	19	20	21	22	23	24	25	26	27	28	29	30	31	32	33	34	35
Toutes/All	Erythromycine	17	22	600	77	5	5	4	6	5	5	3	3	3	5	2	2	5	7	9	19	11	30	38	56	67	65	40	57	22	17	8	12	6	6
Toutes/All	Lincosamide	17	21	466	60	1	6	2	2	5	1	5	1	2	3	3	10	8	6	9	17	19	30	22	33	35	34	41	28	32	14	19	6	10	
Toutes/All	Spiramycine	19	24	747	96	5	7	10	7	8	8	7	7	9	19	28	28	50	57	33	47	30	52	75	45	36	31	15	20	5	6	3	3	0	0